

Transformări geometrice 2D

Translație: $P(x, y) \xrightarrow{\text{translație}} P'(x', y')$

$$x' = x + tx$$

$$y' = y + ty$$

$v = tx\vec{i} + ty\vec{j}$ vector de translație

$$\begin{bmatrix} x' \\ y' \end{bmatrix} = \begin{bmatrix} x \\ y \end{bmatrix} + \begin{bmatrix} tx \\ ty \end{bmatrix}$$

Rotatie: $P(x, y) \xrightarrow[\text{jurul originii}]{\text{rotatie de unghi } \theta} P'(x', y')$

$$x' = x \cos \theta - y \sin \theta$$

$$y' = x \sin \theta + y \cos \theta$$

$$\begin{bmatrix} x' \\ y' \end{bmatrix} = \begin{bmatrix} \cos \theta & -\sin \theta \\ \sin \theta & \cos \theta \end{bmatrix} \begin{bmatrix} x \\ y \end{bmatrix}$$

Scalare: $P(x, y) \xrightarrow{\text{scalare}} P'(x', y')$

$$x' = sx \cdot x$$

$$y' = sy \cdot y$$

$$\begin{bmatrix} x' \\ y' \end{bmatrix} = \begin{bmatrix} sx & 0 \\ 0 & sy \end{bmatrix} \begin{bmatrix} x \\ y \end{bmatrix}$$

$sx = sy \rightarrow$ scalare uniformă

! Pt a putea trata toate transformările prin înmulțiri de matrici se utilizează coordonate omogene. Un punct (x, y) este reprezentat în coordonate omogene printr-o infinitate de vectori \mathbb{R}^3 . $\rightarrow (tx, ty, t)$

• Dacă interpretăm (tx, ty, t) într-un spațiu \mathbb{R}^3 , ele reprezintă punctele unei drepte ce trece prin $(x, y, 1)$ și $(0, 0, 0)$.

• Fiecare punct omogen reprezintă o linie în spațiul \mathbb{R}^3 .

• 2 tripleți în coord. omogene repr. același punct dacă sunt multiplii unul altuia $(x, y, w) \rightarrow (\frac{x}{w}, \frac{y}{w}, 1)$

Coordonate Omogene

Translație

$$\begin{bmatrix} x' \\ y' \\ 1 \end{bmatrix} = \begin{bmatrix} 1 & 0 & tx \\ 0 & 1 & ty \\ 0 & 0 & 1 \end{bmatrix} \begin{bmatrix} x \\ y \\ 1 \end{bmatrix}$$

Rotatie

$$\begin{bmatrix} x' \\ y' \\ 1 \end{bmatrix} = \begin{bmatrix} \cos \theta & -\sin \theta & 0 \\ \sin \theta & \cos \theta & 0 \\ 0 & 0 & 1 \end{bmatrix} \begin{bmatrix} x \\ y \\ 1 \end{bmatrix}$$

Scalare

$$\begin{bmatrix} x' \\ y' \\ 1 \end{bmatrix} = \begin{bmatrix} sx & 0 & 0 \\ 0 & sy & 0 \\ 0 & 0 & 1 \end{bmatrix} \begin{bmatrix} x \\ y \\ 1 \end{bmatrix}$$

• Repr. pt. în coord. omogene este desehat de utilă pentru compunerea transformărilor geometrice

• Matricea corespunzătoare unei transformări compuse = produsul matric. transformărilor componente

• Ordinea în care se pleacă aceste matrici în produs este de la dreapta la stânga pt transform. repr. cu vectori coloană și invers pt vectori linie

• Ex: $\begin{bmatrix} r_{11} & r_{12} & tx \\ r_{21} & r_{22} & ty \\ 0 & 0 & 1 \end{bmatrix}$, cu $\begin{bmatrix} r_{11} & r_{12} \\ r_{21} & r_{22} \end{bmatrix}$ ortogonală ($r_{11}r_{12} + r_{21}r_{22} = 0$) corespunde unei

transformări care păstrează unghiurile și lungimile (rigid body)

• O succesiune de translații și rotații compuse are ca rezultat o transformare rigidă

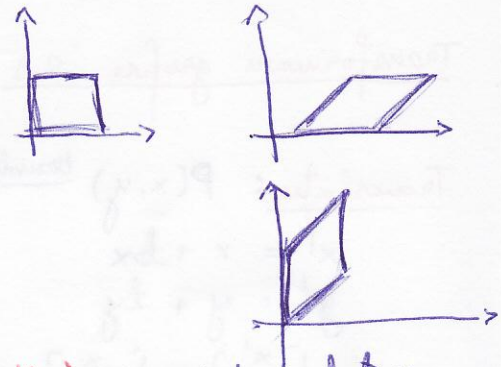
• Prin compunerea unei nr. arbitrare de rotații și scalări venite de la translații \Rightarrow transformări afine.

Shearing (for core)

- de-a lungul axei ox $S_{Hx} = \begin{bmatrix} 1 & a & 0 \\ 0 & 1 & 0 \\ 0 & 0 & 1 \end{bmatrix}$

$$S_{Hx} \begin{bmatrix} x \\ y \\ 1 \end{bmatrix} = \begin{bmatrix} x + ay \\ y \\ 1 \end{bmatrix}$$

- S_{Hy} = $\begin{bmatrix} 1 & 0 & 0 \\ b & 1 & 0 \\ 0 & 0 & 1 \end{bmatrix} \Rightarrow S_{Hy} \cdot \begin{bmatrix} x \\ y \\ 1 \end{bmatrix} = \begin{bmatrix} x \\ y + bx \\ 1 \end{bmatrix}$



Compușarea mai multor transformări 2D

- Rotatia de unghi θ a unui obiect în jurul $C(x_c, y_c)$, un pct. arbitrar

1. Translație de vector $(-x_c, -y_c)$
2. $R(\theta)$ în jurul originii
3. $T(x_c, y_c)$ la loc

Matricea transf: $T(+x_c, +y_c) \cdot R(\theta) \cdot T(-x_c, -y_c) =$

$$\begin{bmatrix} 1 & 0 & x_c \\ 0 & 1 & y_c \\ 0 & 0 & 1 \end{bmatrix} \begin{bmatrix} \cos\theta & -\sin\theta & 0 \\ \sin\theta & \cos\theta & 0 \\ 0 & 0 & 1 \end{bmatrix} \begin{bmatrix} 1 & 0 & -x_c \\ 0 & 1 & -y_c \\ 0 & 0 & 1 \end{bmatrix} = \begin{bmatrix} \cos\theta & -\sin\theta & x_c(1-\cos\theta) + y_c\sin\theta \\ \sin\theta & \cos\theta & y_c(1-\cos\theta) - x_c\sin\theta \\ 0 & 0 & 1 \end{bmatrix}$$

- nu contează ordinea de compunere pt: $T^{-1}, S_c - S_c, Rot, Rot, S_c, unificat - Rot$

Oglindire

- față de axa Oy $P(x, y) = P'(x', y')$ $\begin{cases} x' = -x \\ y' = y \end{cases}$

$$\begin{bmatrix} x' \\ y' \\ 1 \end{bmatrix} = \begin{bmatrix} -1 & 0 & 0 \\ 0 & 1 & 0 \\ 0 & 0 & 1 \end{bmatrix} \begin{bmatrix} x \\ y \\ 1 \end{bmatrix}$$

- față de axa Ox

$$\begin{bmatrix} x' \\ y' \\ 1 \end{bmatrix} = \begin{bmatrix} 1 & 0 & 0 \\ 0 & -1 & 0 \\ 0 & 0 & 1 \end{bmatrix} \begin{bmatrix} x \\ y \\ 1 \end{bmatrix}$$

- față de origini

$$\begin{bmatrix} x' \\ y' \\ 1 \end{bmatrix} = \begin{bmatrix} -1 & 0 & 0 \\ 0 & -1 & 0 \\ 0 & 0 & 1 \end{bmatrix} \begin{bmatrix} x \\ y \\ 1 \end{bmatrix}$$

Transformări de vizualizare 2D

și aplicație dătr-un sistem de coordonate în altul ce trebuie să pună în corespondență fiecarei punct al unui dreptunghi un punct al suprafeței de afișare. Se specifică un dreptunghi cu lăți în axele fișt de coordonate logice, numit ferestru, ale căror puncte sunt puse în corespondență cu cele ale unui dreptunghi din suprafața de afișare, numit bifor.

Transformarea de vizualizare 2D se numește și transformarea ferestru-vizor

$$\frac{x_v - x_{vmin}}{x_{vmax} - x_{vmin}} = \frac{x_f - x_{fmin}}{x_{fmax} - x_{fmin}} \Rightarrow x_v = \frac{x_{vmax} - x_{vmin}}{x_{fmax} - x_{fmin}} (x_f - x_{fmin}) + x_{vmin}$$

$$= \frac{x_{vmax} - x_{vmin}}{x_{fmax} - x_{fmin}} \cdot x_f - \frac{x_{vmax} - x_{vmin}}{x_{fmax} - x_{fmin}} \cdot x_{fmin} + x_{vmin}$$

$$t_x = S_x \cdot x_{fmin} + x_{vmin}$$

$$\begin{cases} x_v = S_x \cdot x_f + t_x \\ y_v = S_y \cdot y_f + t_y \end{cases}$$

$$S_y = \frac{y_{vmax} - y_{vmin}}{y_{fmax} - y_{fmin}}$$

$$t_y = -S_y \cdot y_{fmin} + y_{vmin}$$

Când fereastra și vizorul sunt dreptunghiuri care nu au același raport de aspect, scalarea realizată prin transformarea fereastră-vizor este neuniformă. $s_x \neq s_y$, ceea ce poate conduce la deformarea reprezentării care apare în vizor foto de forma reprezentată în fereastră.
Pt. a evita acest lucru, se poate considera o scalare uniformă de factor $\min(s_x, s_y)$.

Transformări grafice 3D

Coordonate omogene: $(x, y, z) \leftrightarrow (t_x, t_y, t_z, t)$

$(x, y, z, w) \rightarrow (\frac{x}{w}, \frac{y}{w}, \frac{z}{w})$; pt $w=0$ "puncte la infinit" - direcții

Mulțimea punctelor carteziene ce corespund punctelor omogene formelează subspațiul tridimensional definit prin ecuația $w=1$ al spațiului omogen

$$T(t_x, t_y, t_z) = \begin{bmatrix} 1 & 0 & 0 & t_x \\ 0 & 1 & 0 & t_y \\ 0 & 0 & 1 & t_z \\ 0 & 0 & 0 & 1 \end{bmatrix}$$

$$S(s_x, s_y, s_z) = \begin{bmatrix} s_x & 0 & 0 & 0 \\ 0 & s_y & 0 & 0 \\ 0 & 0 & s_z & 0 \\ 0 & 0 & 0 & 1 \end{bmatrix}$$

$$R_z(\theta) = \begin{bmatrix} \cos\theta & -\sin\theta & 0 & 0 \\ \sin\theta & \cos\theta & 0 & 0 \\ 0 & 0 & 1 & 0 \\ 0 & 0 & 0 & 1 \end{bmatrix}$$

$$R_y(\theta) = \begin{bmatrix} \cos\theta & 0 & \sin\theta & 0 \\ 0 & 1 & 0 & 0 \\ -\sin\theta & 0 & \cos\theta & 0 \\ 0 & 0 & 0 & 1 \end{bmatrix}$$

$$R_x(\theta) = \begin{bmatrix} 1 & 0 & 0 & 0 \\ 0 & \cos\theta & -\sin\theta & 0 \\ 0 & \sin\theta & \cos\theta & 0 \\ 0 & 0 & 0 & 1 \end{bmatrix}$$

• Rezultatul înmulțirii unei w_z , arbitrar de matrice de rotație, translație sau scalare este o matrice de forma $\begin{bmatrix} R_{11} & R_{12} & R_{13} & t_x \\ R_{21} & R_{22} & R_{23} & t_y \\ R_{31} & R_{32} & R_{33} & t_z \\ 0 & 0 & 0 & 1 \end{bmatrix} = \begin{bmatrix} R_{3 \times 3} & T_{3 \times 1} \\ O_{1 \times 3} & 1_{1 \times 1} \end{bmatrix}$ corespunde unei transformări ortogonale

Forfecare (shear)

$$SH_{xy}(sh_x, sh_y) = \begin{bmatrix} 1 & 0 & sh_x & 0 \\ 0 & 1 & sh_y & 0 \\ 0 & 0 & 1 & 0 \\ 0 & 0 & 0 & 1 \end{bmatrix}$$

$$SH_{yz}(sh_y, sh_z) = \begin{bmatrix} 1 & 0 & 0 & 0 \\ sh_y & 1 & 0 & 0 \\ sh_z & 0 & 1 & 0 \\ 0 & 0 & 0 & 1 \end{bmatrix}$$

$$SH_{xz}(sh_x, sh_z) = \begin{bmatrix} 1 & sh_x & 0 & 0 \\ 0 & 1 & 0 & 0 \\ 0 & sh_z & 1 & 0 \\ 0 & 0 & 0 & 1 \end{bmatrix}$$

Componența transformărilor 3D

Proprietăți ale matrițelor ortogonale cu $\det 1$ (cum sunt $R_{3 \times 3}$ - produsul unei serie arbitrar de rot.)
- vectorii linie sunt un sistem de 3 vectori ortogonali care, prin aplicarea matriței M , vor fi transformați în vectorii $\vec{i}, \vec{j}, \vec{k}$ ai referențialului
- vectorii celorlalte refer. un sistem de vectori ortogonali identici cu cei ce rezultă prin aplicarea matriței M asupra $\vec{i}, \vec{j}, \vec{k}$

Rotarea unei punct P în jurul unei drepte care trece prin $A_1(x_1, y_1, z_1) - A_2(x_2, y_2, z_2)$

1) $T_1(-x_1, -y_1, -z_1)$

2) $R_y(\alpha) \Rightarrow P_1 P_2$ în xOy

3) $R_z(\beta) \Rightarrow P_1 P_2$ coincident cu Oy

4) $R_y(\theta)$

5) $R_z(-\beta)$

6) $R_y(-\alpha)$

7) $T_2(x_1, y_1, z_1)$

$$\cos \alpha = \frac{OB}{OA} = \frac{x_2 - x_1}{\sqrt{(x_2 - x_1)^2 + (z_2 - z_1)^2}} \quad \sin \alpha = \frac{AB}{OA} = \frac{z_2 - z_1}{\sqrt{(x_2 - x_1)^2 + (z_2 - z_1)^2}}$$

$$\cos \beta = \frac{OC}{OP_2} = \frac{y_2 - y_1}{\sqrt{(x_2 - x_1)^2 + (y_2 - y_1)^2 + (z_2 - z_1)^2}}$$

$$\sin \beta = \frac{CP_2}{OP_2} = \frac{\sqrt{(x_2 - x_1)^2 + (z_2 - z_1)^2}}{\sqrt{(x_2 - x_1)^2 + (y_2 - y_1)^2 + (z_2 - z_1)^2}}$$

- Transf. care sunt rez. unui nr. arbitrar de compuneri de transformări de robotie, scalare, forfecare, univale și o transformare de translație sunt transf. afine.
- Obiectele sunt definite într-un sistem de coord. arbitrator care este convențional și un sistem drept. În sist. de vizualizare utilizate în multe aplicații grafice se folosesc sist. de ref. stânga.

- Transformarea unui SR drept în SR stâng se face cu $M_{RL} = \begin{bmatrix} 1 & 0 & 0 & 0 \\ 0 & 1 & 0 & 0 \\ 0 & 0 & -1 & 0 \\ 0 & 0 & 0 & 1 \end{bmatrix}$ (oglinzire față de xOy)
- Transf. care mută un pct. într-un sist. de coord. în alt.
- It. a determina ec. transf. a unui punct într-un sist. de coord. A în altul B ($M_{B \leftarrow A}$), se inversează matricea care aduce axele lui A pe cele ale lui B, transformarea făcându-se relativ la referențialul A.

Oglinzirea față de un plan oarecare

- există oglinziri față de xOy $\begin{bmatrix} 1 & 0 & 0 \\ 0 & 1 & 0 \\ 0 & 0 & 1 \end{bmatrix}$, yOz $\begin{bmatrix} 1 & 0 & 0 \\ 0 & 1 & 0 \\ 0 & 0 & -1 \end{bmatrix}$, xOz $\begin{bmatrix} 1 & 0 & 0 \\ 0 & -1 & 0 \\ 0 & 0 & 1 \end{bmatrix}$
- oglinzirea față de un plan oarecare este o transf. compusă care include una din transf. simple de oglinzire, pe care și transf. elementare de rotație și translație p. a celui normalela planului dat cu o axă a sist. de coord.
- considerăm planul de oglinzire specificat printr-un punct $P(x_0, y_0, z_0)$ și vectorul normal la plan N .
- procedura de obținere a transf. de oglinzire față de planul dat este:
 - 1) translație P în origine: $T(-x_0, -y_0, -z_0)$
 - 2) aliniere vect. N la axa Oy
 - 3) oglinzire față de xOz
 - 4, 5) invers 2 și 1.

Transformări de proiecție

- sunt transf. ale unor puncte specificate relativ la un sist. de coordonate de dimensiune n , prin puncte într-un sist. de coord. de dim. $k < n$.
- proiecția unui obiect 3D este definită cu ajutorul unei drepte numite proiectori sau rază de p. care pornește dintr-un punct numit centru de proiecție, trec printr-un punct arbitrar al obiectului și intersectează un plan de proiecție. Astfel de proiecție se numesc proiecții geometrice (proiectorii sunt drepte, nu curbe) plouare (pr. se face pe un plan, nu pe o supr. curbă).
- proiecții geometrice plane
 - de perspectivă (distanta dintre centrul de pr. și planul de pr. finită) - se specifică coord. centrului de pr.
 - parallele (distanta infinită) - se specifică coef. directori ai direcției de pr.

Observații

- mărimea proiecției perspective a unui obiect variază invers proporțional cu dist. de la obiect la centrul de proiecție; liniile paralele nu se proiectează tot ca linii paralele (în general), ier. enghivele nu sunt proiectate decât în cazul în care sunt paralele cu planul de proiecție;
- proiectele liniilor paralele care nu sunt paralele cu planul de proiecție converg către un punct din acel plan, numit pct. de convergență;
- dacă liniile proiectate sunt paralele cu una din axele sist. de coord., punctul spre care converg se numește punct de convergență principal;
- proiectele perspective se clasifică după nr. de pct. de convergență principali: 1, 2 sau 3.

Proiecții paralele ortografice (dir. de pr. este normală la planul de pr.)
oblice (dir. de pr. nu e perpendiculară pe planul de pr.)

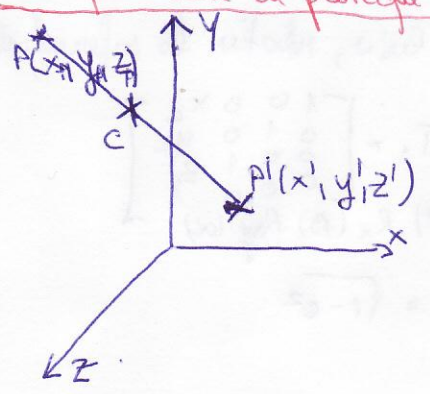
Proiecții ortografice

frontale, de sus, laterale (planul de pr. e perpendicular pe o axă principală)
 axonometrice (pl. de pr. nu e perpendicular pe o axă principală).
 ex: pr. izometrice → dir. de proiecție face unghiuri egale cu fiecare dintre axele prin
 → dir este $(dx, dy, dz) \Rightarrow |dx| = |dy| = |dz|$

Proiecții oblice

- Proiecția cavaliere: unghiul format de dir. de proiecție cu planul de proiecție este 45°
 (ex. pt xOy : $(\frac{\sqrt{2}}{2}, \frac{\sqrt{2}}{2}, -1)$ sau $(\frac{\sqrt{2}}{2}, \frac{1}{2}, -1)$)
- Proiecția cabinet: unghiul format de dir. de proiecție cu planul de proiecție = arctg 2
 (ex. pt xOy : $(\frac{\sqrt{2}}{4}, \frac{\sqrt{2}}{4}, -1)$ sau $(\frac{\sqrt{3}}{4}, \frac{1}{4}, -1)$)

Transformarea de proiecție de perspectivă de centru $C(x_c, y_c, z_c)$ în plan de proiecție xOy



dreapta $d = PC$: $\frac{x - x_c}{x_p - x_c} = \frac{y - y_c}{y_p - y_c} = \frac{z - z_c}{z_p - z_c}$

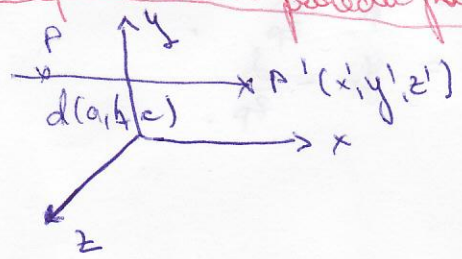
pt x', y', z' , $z' = 0 \Rightarrow \begin{cases} z' = 0 \\ x' = x_c - \frac{x_p - x_c}{z_p - z_c} \cdot z_c \\ y' = y_c - \frac{y_p - y_c}{z_p - z_c} \cdot z_c \end{cases}$

Transf. lui (x, y, z) prin pr. de $C(x_c, y_c, z_c)$ și plan $\Pi(z=0)$ este $(x', y', 0)$ unde $\begin{cases} x' = x_c - \frac{x - x_c}{z - z_c} \cdot z_c \\ y' = y_c - \frac{y - y_c}{z - z_c} \cdot z_c \end{cases}$

Dacă $x_c = y_c = z_c = -d \Rightarrow \begin{cases} x' = +d \frac{x}{z+d} = \frac{x}{\frac{z}{d} + 1} \\ y' = +d \frac{y}{z+d} = \frac{y}{\frac{z}{d} + 1} \\ z' = 0 \end{cases}$

$M_{pr} = \begin{bmatrix} 1 & 0 & 0 & 0 \\ 0 & 1 & 0 & 0 \\ 0 & 0 & 1 & 0 \\ 0 & 0 & 1/d & 1 \end{bmatrix}$

Transformarea de proiecție paralelă pe planul $z=0$ având direcția de proiecție $d(a, b, c)$



$\begin{cases} x = x_p + a \cdot t = x_p - \frac{a}{c} \cdot z_p \\ y = y_p + b \cdot t = y_p - \frac{b}{c} \cdot z_p \\ z = z_p + c \cdot t \Rightarrow t = -\frac{z_p}{c} \end{cases}$

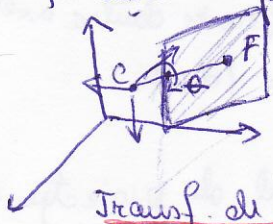
$M_{pr} = \begin{bmatrix} 1 & 0 & -a/c & 0 \\ 0 & 1 & -b/c & 0 \\ 0 & 0 & c/c & 0 \\ 0 & 0 & 0 & 1 \end{bmatrix}$

Transformarea de vizualizare 3D

- Un sist de vizualizare 3D realizează transformările necesare pentru a duce un punct din spațiul de coord. 3D al utilizatorului într-un plan de vizualizare.
- Un sist. de viz. 3D se compune din:
 - transformare de vizualizare din sist. de coordonate utilizator în sist. cameră de două vederi, în care originea e în poz. comune de două vederi
 - transformare de proiecție proiectează punctele 3D din spațiul de vizualizare într-un spațiu cu 2D numit plan de vizualizare.
 - înșori, un sist. de vizualizare specifică un volum de vizualizare, care este submulțimea punctelor din sp. de coord. utilizator care se includ în procesul de vizualizare
 - se poate specifica și o ferastră în planul de vizualizare

- Ex: $C(x_c, y_c, z_c)$ - camera
 $F(x_f, y_f, z_f)$ - punctul catre care poartem camera
 θ - unghiul de răsucire al camerei în jurul CF
 d - dist. dintre C și pl. de vizualizare.

Se folosește ca procedură de perspectivă de centru de proiecție C.



$$\vec{v} = (a, b, c)$$

$$a = \frac{x_f - x_c}{\sqrt{(x_f - x_c)^2 + (y_f - y_c)^2 + (z_f - z_c)^2}} \quad b = \frac{y_f - y_c}{\sqrt{\dots}} \quad c = \frac{z_f - z_c}{\sqrt{\dots}}$$

Transf. de vizualizare va trebui să calculeze coordonatele punctului P_v în sist. (x_v, y_v, z_v) față de sist. de coordonate de vizualizare (al camerei) cunoscând coordonatele punctului $P_w(x_w, y_w, z_w)$ față de sist. de coordonate w .

$$P_v = M_{v \leftarrow w} P_w$$

$M_{v \leftarrow w} = T_{v \leftarrow w}$ aduce axele sist. w peste axele lui v , relativ la referențialul v .

$$T_{v \leftarrow w} = T_1 \cdot T_2 \Rightarrow T_{v \leftarrow w}^{-1} = T_2^{-1} \cdot T_1^{-1}$$

T_1 - matrice de transf. care aduce ox_w peste C $T_1 = \begin{bmatrix} 1 & 0 & 0 & x_c \\ 0 & 1 & 0 & y_c \\ 0 & 0 & 1 & z_c \\ 0 & 0 & 0 & 1 \end{bmatrix}$
 T_2 - axeza oz_w peste versorul CF $T_2^{-1} = R_z(\theta) R_x(\beta) R_y(\alpha)$

$$\cos \alpha = \frac{b}{\sqrt{1-c^2}} \quad \sin \alpha = \frac{a}{\sqrt{1-c^2}} \quad \cos \beta = c \quad \sin \beta = \sqrt{1-c^2}$$

$$T_2^{-1} = R_z(\theta) \begin{bmatrix} 1 & 0 & 0 & 0 \\ 0 & \frac{c}{\sqrt{1-c^2}} & -\frac{a}{\sqrt{1-c^2}} & 0 \\ 0 & \frac{a}{\sqrt{1-c^2}} & \frac{b}{\sqrt{1-c^2}} & 0 \\ 0 & 0 & 0 & 1 \end{bmatrix} \begin{bmatrix} \frac{b}{\sqrt{1-c^2}} & -\frac{a}{\sqrt{1-c^2}} & 0 & 0 \\ \frac{a}{\sqrt{1-c^2}} & \frac{b}{\sqrt{1-c^2}} & 0 & 0 \\ 0 & 0 & 1 & 0 \\ 0 & 0 & 0 & 1 \end{bmatrix}$$

$$T_{v \leftarrow w}^{-1} = T_2^{-1} T_1^{-1} = R_z(\theta) \begin{bmatrix} \frac{b}{\sqrt{1-c^2}} & -\frac{a}{\sqrt{1-c^2}} & 0 & 0 \\ \frac{a}{\sqrt{1-c^2}} & \frac{b}{\sqrt{1-c^2}} & 0 & 0 \\ 0 & 0 & 1 & 0 \\ 0 & 0 & 0 & 1 \end{bmatrix} \begin{bmatrix} 1 & 0 & 0 & x_c \\ 0 & 1 & 0 & y_c \\ 0 & 0 & 1 & z_c \\ 0 & 0 & 0 & 1 \end{bmatrix}$$

Transf. de vizualizare: centru în origine, plan $z_v = d$, (x_v, y_v, z_v)

$$\frac{x_v - 0}{x_p - 0} = \frac{y_v - 0}{y_p - 0} = \frac{z_v - 0}{z_p - 0}, \quad z_v = d \Rightarrow \begin{cases} x_v = x_p \cdot \frac{d}{z_p} \\ y_v = y_p \cdot \frac{d}{z_p} \end{cases}$$

Algoritmi fundamentali în grafică raster pt. desfurarea primitivelor 2D.




Algoritmi de decupare (clipping)

În cazul pachetelor de programe pt. afișarea de imagini raster există 2 etape ale procedurii:

- 1) conversia primitivelor grafice în mulțimi de pixeli (rasterizare sau scan-conversion)
- 2) decuparea primitivelor grafice față de frontieră (de obicei dreptunghiulară) a regiunii care va fi afișată

- cea mai simplă / ineficientă tehnică de clipping există în efectuarea în întregime a scan-conversiei unei primitive și scrierea în frame buffer numai a pixelilor vizibili
- Coordonatele (x, y) ale fiecărui pixel sunt verificate ca să se încadreze între limitele $(x_{min}, y_{min}) - (x_{max}, y_{max})$ ale regiunii dreptunghiulare de afișat
- Acest tip de clipping este folosit numai în cazul graficilor grafice în care aceste teste se fac pe hardware.
- cea mai eficientă tehnică de decupare, utilizată în special pt decuparea liniilor drepte, este efectuarea decupării înainte de rasterizare.
- Rutina de decupare va genera numai pixelii porțiunii de primitivă grafică rămasă după decupare (se numește și decupare analitică / pre-clipping)

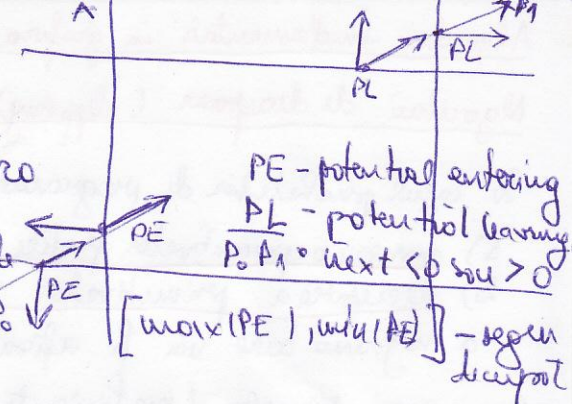
Algoritmi pt. decuparea liniilor față de o frontieră dreptunghiulară

- 1) Se determină dacă segmentul e integral în interiorul dreptunghiului (nu trebuie clipping)
- 2) Dacă linia nu poate fi acceptată trivial, ea e intersectată cu toate cele 4 laturi ale dreptunghiului - frontieră și se caută determinarea punctelor de intersecție care se află chiar pe laturile dreptunghiului de decupare.
 - dacă nu există astfel de puncte, se produce rejectarea segmentului 
 - dacă sunt 2 puncte, se ia 
 - dacă e 1 punct de intersecție, se ia acest punct și se intersectează cu punctul dintr-unul din cele două puncte care e în interiorul dreptunghiului de decupare (adică P sau Q) 

Algoritmi de decupare Cohen-Sutherland

- $P(x_0, y_0) - Q(x_1, y_1)$ segment PQ se decupează față de $(x_{min}, y_{min}) - (x_{max}, y_{max})$
- la început se fac teste pt. acceptarea/rejectarea trivială a segm. PQ (nu se decupează sau nu se desenează).
- în acest scop, planul e împărțit în 3 regiuni de drepte $x = x_{min}, x = x_{max}, y = y_{min}, y = y_{max}$
- unui punct care e plasat într-o regiune i se asociază un cod binar format din 4 biți $b_1 b_2 b_3 b_4$ astfel $b_1 = 1$ dacă $y > y_{max}$, $b_2 = 1$ dacă $x > x_{max}$, $b_3 = 1$, $y < y_{min}$, $b_4 = 1$, $x < x_{min}$
- segmentul e rejectat dacă cod (P) & cod (Q) \neq 0000
- dacă cod (P) & cod (Q) = 0, presupunem cod (P) \neq 0000, $b_1 = 0 \Rightarrow P \cap y = y_{max}$, $b_2 = 0 \Rightarrow P \cap x = x_{max}$.
- se decupează și se reia cu segmentul rămas.
- dacă segmentul nu a putut fi rejectat/acceptat trivial atunci biți veruri corespunzător x și y pe care PQ le intersectează.

Algoritmul de decupare parametrică Cyrus - Beck



Algoritmul folosește descrierea parametrică a liniei de ocupat și a liniilor ce alcătuiesc frontiera poligonului de decupare

- determină valoarea parametrului t ce corespunde intersecției segm. P_0P_1 și fiecare dintre laturile (drept) poligonului de decupare.

- Fie $n = nr$ de laturi ale poligonului de decupare

- laturile sunt considerate cu sens trigonometric
- algoritmul determină n valori ale lui t corespunzătoare intersecției dintre P_0P_1 și laturile și apoi prin comparații simple va selecta dintre ele două valori ce corespund extremităților porțiunii din P_0P_1 , care e intersecția polig. de decupare

- punctul generic situat pe segmentul $P_0P_1 = p(t) = P_0 + (P_1 - P_0)t$

- Fie E_i una dintre muchiile (cons. ∞) a polig. de decupare, \vec{n}_i versorul normalii ext. la muchie și P_{E_i} un pct. arbitrar al muchiei E_i

- Punctul $P(t)$ va fi în interior poligonului de decupare dacă vectorul $P(t) - P_{E_i}$ formează cu \vec{n}_i un unghi $> \pi/2$ și $P(t)$ e ext. poligonului de pe frontiera $\vec{n}_i \perp (P(t) - P_{E_i})$ (prod. scolar = 0)

- determinăm λ dintre E_i și P_0P_1 din ec. $\vec{n}_i \perp (P(t) - P_{E_i}) = 0, \Rightarrow$

$$\Rightarrow t = \frac{\vec{n}_i \cdot (P_1 - P_0)}{\vec{n}_i \cdot (P_1 - P_0)}$$

- pt. a avea o valoare validă a lui t , $|\vec{n}_i| \neq 0$ și $|P_0P_1| \neq 0$ și $\vec{n}_i \perp P_0P_1$

- valorile lui t care nu $\in [0, 1]$ nu vor fi luate în considerare.

- Se ordonează valorile t ale intersecțiilor valide între E_i și P_0P_1 . Se determină cea mai mare valoare a lui $t \in [0, 1]$ care corespunde unei extremități de tip PE, fie ea t_e . Se determină cea mai mică valoare a lui $t \in [0, 1]$ care corespunde unei intersecții de tip PL, fie ea t_l . Dacă $t_l < t_e$, se produce neglijarea segmentului P_0P_1 . Dacă $t_l > t_e$, se afișează porțiunea cuprinsă între punctele $P(t_e)$ și $P(t_l)$.

Generarea prin puncte a primitivelor grafice (rasterizare)

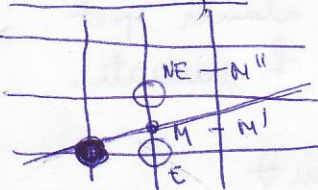
Algoritmul DDA (Digital Differential Analyzer)

- algoritmul de rasterizare pt. linii
- calculează coordonatele pixelilor aflați în nodurile unui grilă 2D care sunt cei mai apropiați de dreapta teoretică infinit de subțire.
- în cazul liniilor cu pantă $m \in [-1, 1]$ va fi ales un singur pixel pe fiecare coloană de puncte a display-ului
- $m \in [-1, 1]$ - un singur pixel pe linie
- Linie DDA vect $((x_0, y_0), (x_1, y_1))$; pantă $m = \frac{\Delta y}{\Delta x} = \frac{y_1 - y_0}{x_1 - x_0}$
ec: $y_i = m x_i + b$
- vor trebui așezat pixelii cu coordonate $(x_i, y_i) = (x_i, \text{round}(m x_i + b))$
- această abordare are implicații de calculare, de înmulțiri și de conversii de format pt. fiecare pixel.
- înmulțirea poate fi eliminată prin următorul calcul increment: alegând coordonatele unui pct de raster selectat pt. a face parte din dreapta rasterizată la iteratia i la iteratia $(i+1)$ următorul pixel va fi selectat va avea coord. $x_{i+1} = x_i + 1$,
 $y_{i+1} = m x_{i+1} + b = m x_i + m + b = m(x_i + \Delta x) + b = m x_i + m \Delta x + b = y_i + m \Delta x$, $\Delta x = 1$
- dacă $|m| > 1$, la fiecare iteratie valoarea lui y va crește cu o unitate, iar valoarea lui x_{i+1} va fi în $\text{round}(x_i + \frac{1}{m})$.

Bresenham: un algoritmul mai rapid pt generarea de linii

- lucrăm doar cu nr. întregi, evitând utilizarea lui round la fiecare iteratie
- considerăm o dreaptă cu $m \in [0, 1)$ (în primul octant; algoritmul se va modifica pt. a trasa drepte în ceilalți octanți)

Demonstratie:



- Pp. că la o iteratie oarecare, algoritmul a selectat punctul $P(x_i, y_i)$ pt a face parte din dreapta rasterizată.
- la o iteratie următoare, deoarece dreapta are o pantă $m \in [0, 1)$, va fi selectat unul din pixelii E sau NE pt. a face parte din dreapta rasterizată. (ambii pixeli se afla pe coloana $x = x_i + 1$)
- Dacă pct. M, situat la $\frac{1}{2}$ NE-E, este în partea stângă (adică deasupra) a dreptei teoretice, va fi selectat E, altfel va fi selectat NE.
- Eroarea = distanța pe verticală între pixelul ales și dreapta teoretică; eroarea $\leq \frac{1}{2}$
- Fie dr. $F(x, y) = ax + by + c = 0$ (ecuație implicită)
- în cazul unei drepte care trece prin 2 puncte (x_0, y_0) și (x_1, y_1) ecuație explicită e $y = \frac{dy}{dx}x + B$ $dyx - dx y + b dx = 0$
- Pt pct aflate la dreapta (dici sublin) dreptei $F(x, y) > 0$
la stanga dreptei $F(x, y) < 0$
pe dreapta $F(x, y) = 0$.

- la pasul anterior am selectat $P(x_p, y_p)$
- la pasul acesta, calculăm $F(x_{M'}, y_{M'})$, unde $d = F(x_{M'}, y_{M'}) = dy(x_{p+1}) - dx(y_{p+1/2}) + b dx$
 - $d > 0 \Rightarrow NE \rightarrow M''$
 - $d < 0 \Rightarrow E \rightarrow M'$
 - $d = 0 \Rightarrow$ oricare, E

$$x_{M'} = x_{p+2} = x_{M''}$$

$$y_{M'} = y_p + \frac{1}{2}$$

$$y_{M''} = y_p + \frac{3}{2}$$

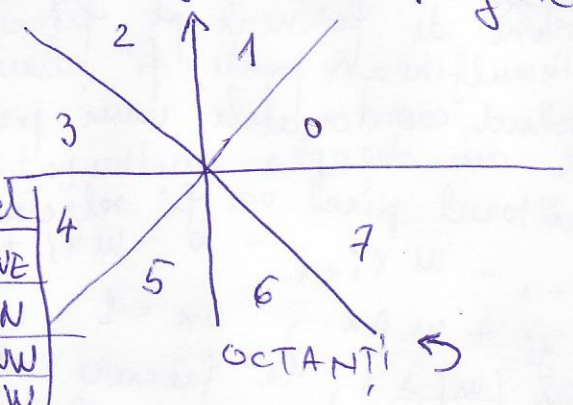
$$\begin{cases} d_{M'} = d + dy = d + a \\ d_{M''} = d + dy - dx = d + a + b \end{cases} \rightarrow \text{primul pixel al dreptei} = (x_0, y_0)$$

valoarea inițială a lui $d = F(x_0 + 1, y_0 + 1/2) = a(x_0 + 1) + b(y_0 + 1/2) + c = F(x_0, y_0) + a + b/2 \Rightarrow d_{start} = a + b/2 = dy - dx/2$

Cu să nu împiedicăm la 2, considerăm $F(x, y) = 2(ax + by + c)$

$$d_{start} = 2dy - dx = 2a + b$$

$$i_{poz} = 2(dy - dx)$$

$$i_{neg} = 2dy$$


OCTANTUL	d_{start}	i_{poz}	i_{neg}	pozi	sel
0	$2dy - dx$	$2dy$	$2(dy - dx)$	E	NE
1	$-2dx + dy$	$2(dy - dx)$	$-2dx$	NE	N
2	$-dy - 2dx$	$-2dx$	$-2(dy - dx)$	N	NW
3	$-2dy - dx$	$-2(dy + dx)$	$-2dy$	NW	W
4	$-2dy + dx$	$-2dy$	$-2(dy - dx)$	W	SW
5	$2dx - dy$	$2(dx - dy)$	$2dx$	SW	S
6	$dy + 2dx$	$2dx$	$2(dy - dx)$	S	SE
7	$2dy + dx$	$2(dy + dx)$	$2dy$	SE	E

Generarea cercurilor prin puncte

cel mai ineficient: prin rezolvarea ec. implicite $x^2 + y^2 = r^2$ (în primul cadran)
 $y = \sqrt{r^2 - x^2} \rightarrow$ dacă s-a generat $(x, y) \in$ cercurii, atunci pot. $(-x, y), (-x, -y), (x, -y)$ fac parte din cerce și vor fi generate.

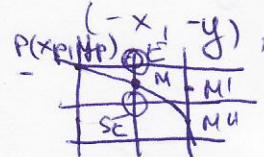
Mai puțin ineficient:
 - generăm microvectorii sau vf. de coord. $x \cos \theta, x \sin \theta$
 - cercul se va aproxima cu un poligon regulat.

```

moveTo (r, 0)
for (i=1; i<=N; i++)
  lineTo ((int) r * cos(20i/N), (int) r * sin(20i/N))
  
```

Efficient

- lucrăm cu numere întregi: Bresenham, Hittcher
- se generează pt. din al 2-lea octant
- celelalte puncte se obțin prin 8 simetrii: $(x, y), (x, -y), (-x, -y), (-x, y), (y, x), (-y, x), (-y, -x), (y, -x)$



Pp. să la n iteratie oricare a fost selectat pt. a face parte din cerce pt $P(x_p, y_p)$.

$$F(x, y) = x^2 + y^2 - r^2 = 0$$

Dacă $u \in \text{int}(C)$, $F(x_M, y_M) < 0$ va fi selectat E, altfel SE , $F(x_M, y_M) > 0$.

$$d = F(x_M, y_M) = (x_p + 1)^2 + (y_p - \frac{1}{2})^2 - r^2$$

$$d < 0 \Rightarrow E$$

$$d_{\text{next}} = (x_p + 2)^2 + (y_p - \frac{1}{2})^2 - r^2 = d_{\text{current}} + \underbrace{2x_p + 3}_{\text{ineg}}$$

$$d > 0 \Rightarrow \text{SE}$$

$$d_{\text{next}} = (x_p + 2)^2 + (y_p - \frac{3}{2})^2 - r^2 = d_{\text{current}} + 2x_p + 3 - 2(y_p + \frac{1}{2}) + 1 = d_{\text{current}} + \underbrace{2x_p - 2y_p + 5}_{\text{ipos}}$$

• ineg și ipos nu mai sunt constante

$$d_{\text{start}} = F(x_0 + 1, y_0 - \frac{1}{2}) = 2x_0 + 1 - y_0 + \frac{1}{4} = \frac{5}{4} - R$$

$$h = d - \frac{1}{4} \Rightarrow h = 1 - R$$

$d < 0 \Rightarrow h < -\frac{1}{4}$ dar cum lucrăm cu valori întregi, testăm doar $h < 0$

Elipsă (algoritmul lui Bresenham)

• elipsă cu semiaxe paralele cu Ox, Oy : $F(x, y) = b^2 x^2 + a^2 y^2 - a^2 b^2 = 0$
 \rightarrow alg. pt. primul sector (cadran)

$$\text{grad } F(x, y) = \frac{\partial F}{\partial x} \vec{i} + \frac{\partial F}{\partial y} \vec{j} = 2b^2 x \vec{i} + 2a^2 y \vec{j}$$

• în pct. care se potreg $\text{reg } \bar{i}$ și $\text{reg } \bar{u}$, gradientul are punctați

• în regiunea \bar{i} , grad. are componente pe $y >$ comp. pe x (e mai mult vertical vectorul) $2a^2 y > 2b^2 x$

• în aceste regiune, la iteratia următoare a algoritmului se va alege între punctele situate în E sau SE punctului ales la it. curentă

• alegerea se face în funcție de semnul lui $F(x_p + 1, y_p - \frac{1}{2})$

• Analog, în cazul $\text{reg } \bar{u}$, la iteratia următoare a alg. se va alege între pct. plasate la S și SE foto de punctul A ales la iteratia curentă

$$\text{la reg } \bar{i}, d_{\text{old}} = F(x_p + 1, y_p - \frac{1}{2}) = b^2(x_p + 1)^2 + a^2(y_p - \frac{1}{2})^2 - a^2 b^2$$

$$d_{\text{new}} = b^2(x_p + 2)^2 + a^2(y_p - \frac{1}{2})^2 - a^2 b^2$$

$$E \quad d_{\text{new}} = d_{\text{old}} + b^2(2x_p + 3) = d_{\text{old}} + \Delta E_{\text{est}}$$

$$SE \quad d_{\text{new}} = d_{\text{old}} + \Delta E_{\text{est}} + a^2(-2y_p + 2) = d_{\text{old}} + \Delta S_{\text{est}}$$

$$\Delta S_{\text{est}} = b^2(2x_p + 3) + a^2(-2y_p + 2)$$

$$\bullet a, b \text{ întregi } F(1, b - \frac{1}{2}) = b^2 + a^2(b - \frac{1}{2})^2 - a^2 b^2 = b^2 + a^2(-b + \frac{1}{4})$$

Primitivă de suprafață

- se referă la umplerea continuă sau folosind un șablon repetitiv a unei zone 2D specificate prin centrul sau.
- când zona care trebuie umplută este definită prin culoarea pixelilor de pe centrul și umplerea acestei zone începe dintr-un punct (seed) ale cărui coordonate sunt param. ai fet.
- un caz particular - umplerea poligonală: frontiera zonei umplute este un poligon specificat prin vârfuri (utilizat și în algoritmi de asimbire de suprafețe)
- Etape:
 - I - Se determină intersecția dreptei de rasterizare cu muchiile poligonului
 - II - Se sortează intersecțiile crescător după x
 - III - Desenarea pixelilor care se află între 2 intersecții de ordin impar și una de ordin par
 - IV - Trece la urm. dreapta de rasterizare, goto I

Reprezentarea curbilor și suprafețelor

- 1* Se cunosc mai multe ori, suprafețele sunt reprezentate folosind clase de poligoane sau suprafețe parametrizate. Suprafețele pot fi folosite și pt a reprezenta corpuri solide. Una din metodele de repr. a solidelor se numește boundary representation.
- 2* Clasa de poligoane (polygonal mesh) este o colecție de suprafețe plane având fiecare o frontieră de formă poligonală. Acest gen de repr. poate aproxima și suprafețe curbe (ca sfera noastră).
 - 1) În spațiu, se pot defini curbe polinomiale parametrizate (x, y, z)
 $x = p(t), y = q(t), z = r(t)$, unde p, q, r - polinoame de n grad var.
 - 2) Repr. explicită a unei curbe $y = f(x), z = g(x)$
 - 3) Repr. implicită - $f(x, y, z) = 0$ (de ex. $x^2 + y^2 + z^2 - r^2 = 0$ - sferă) (3)
 - 4* Coef. acestor polinoame se aleg a.i. curba să aibă forma dorită (polin. p, q, r au de obicei gradul 3 și curba s.n. cubică parametrizată)
- 5* Supr. curbe pot fi modelate prin petice și supr. polinomiale parametrizate, unde pet. generic are ec. $x = p(u, v), y = q(u, v), z = r(u, v)$. În general, o suprafață curbă oarecare poate fi aproximată printr-un număr de petice parametrizate mai mic decât un număr petice poligonale care ar realiza o aproximație cu același grad de acuratețe. Se cunosc mai multe ori, polinoamele p, q, r au gradul 3 în fiecare din cele 3 variabile. Supr. coreșpunzătoare sunt numite bicubice și sunt alcătuite din petice bicubice parametrizate.
- 0 Clasa poligonală este o colecție de muchii, vârfuri și poligoane conectate a.i. fiecare muchie să fie partajată de cel mult 2 poligoane, o muchie să conecteze 2 vârfuri și fiecare vârf să fie partajat de cel puțin 2 muchii

Operatiuni tipice (asupra unei clase poligonale)

- 1) Det. muchilor incidente unui vârf dat
- 2) Det. poligoanele adiacente unui vf sau muchii date
- 3) Det. vârfulor conectate de o muchie
- 4) Det. tituror muchilor unui poligon
- 5) Afisarea ~~unei~~ clasei poligonale
- 6) Identificarea eventualilor erori de reprezentare (se numesc erori topologice)

Regula lui Euler: $V - M + B - Z = 0$.

a) Repr. explicită a unei clase poligonale.

Fiecare poligon e repr. prin lista coordonatelor vf. sale

- vârfurile ~~sunt~~ stocate în liste în ordinea în care sunt întâlnite la parcurgerea trigonometrică a poligonului
- muchiile sunt plosale între oricare 2 vârfuri succesive, precum și între primul și ultimul
- repr. este eficientă pentru un singur poligon, dar în cazul clasei poligonale duplică vârfuri și nu repr. explicit muchiile partajate

b) pointeri într-o listă de vârfuri

- fiecare vf. e menționat o singură dată
- vârfurile se pot modifica foarte ușor
- cererea de tip 2 e greu de satisfăcut

c) muchii explicite

- pointeri într-o listă de muchii
- listă vârfurilor e ca la b)
- fiecare muchie se repr. prin pointeri la cele 2 vf.
- unele repr. mai pun și pointeri care partajează muchia (winged edge)

• Determinarea normalei

- se aleg 3 vârfuri ale poligonului (P_1, P_2, P_3) și se calculează $\overrightarrow{P_1P_2} \times \overrightarrow{P_1P_3}$
- dacă produsul este nul (P_1, P_2, P_3 coliniari) se vor alege alte 3 vârfuri.
- dacă poligonul are mai mult de 3 vf., ele pot să nu fie riguros coplanare; se poate determina un plan Π care să treacă printru vf poligonului a.î. să fie minimizată $\sum_{i=1}^n |d_i|$ suma dist de la pct la plan

$$(\Pi): Ax + By + Cz + D = 0$$

= coef. A, B, C trebuie să fie proporționali cu arătați cu semn ale proiecției poligonului pe planul yOz, xOz, xOy

Curbe de interpolare / aproximare

$(x_1, y_1) \dots (x_n, y_n)$

- Polinom Lagrange (de interpolare) $L_{n-1}(x) = \sum_{i=1}^n y_i \prod_{j=1, j \neq i}^n \frac{x - x_j}{x_i - x_j}$

- polinomial Lagrange e o functie puternic oscilanta

Proprietati de aproximare

- 1) existenta unui pot de control ce det. forma curbei
- 2) curba e cuprinsa in intregime in poligonul de infaturare convexa al pot de control (convex hull)
- 3) Controlul local (curba Spline) si global (curba Bezier) asupra formei curbei
Daca nu proiectam modifico pozitia unui punct de control, forma curbei se poate schimba local (curb-o' vecinatate a pot) sau global (pe intregul def al curbei).

4) Ordinul de continuitate

- curbele sunt formate din mai multe "segmente de curba", in pot de racordare ale acestor segmente de curba se pot pune conditii de continuitate

→ clasa C_1 : vectorii tangenti si modulele lor sunt identici

→ clasa C_2 : doar orientarea tangentei

- de obicei in desinerea curbelor de aproximare se folosesc curbe parametrice, cu parametri $\in [0, 1]$

- 3 tipuri de curbe de aproximare: Hermite, Bezier, Spline

Curbe Bezier de grad n

• Def: curba al carei punct generic este $P(u)$, in functie de coord a $n+1$ punct de control P_i , prin relatia $P(u) = \sum_{i=0}^n A_i B_{in}(u)$ $0 \leq u \leq 1$

$$B_{in}(u) = C_n^i u^i (1-u)^{n-i} \leftarrow \text{polinomial Bezier}$$

• Ec. parametrica ale curbei Bezier in cazul bidirectional:

$$x(u) = \sum_{i=0}^n x_i B_{in}(u)$$

$$y(u) = \sum_{i=0}^n y_i B_{in}(u) \quad 0 \leq u \leq 1$$

• Punctele de control ale unei curbe Bezier de ~~grad~~ ord n satisfac unu prop:

1) Cele 2 puncte de control extreme (p_0, p_n) apartin curbei

2) In pot de control extreme, curba Bezier e tangenta la laturile corespunzatoare ale poligonului de control

3) La concatenarea a 2 curbe Bezier pot fi asigurate cu usurenta cerintele de cont. de ord 1 in pot. de racordare (laturile poligonului de control adiacente punctului de control final comun al celor 2 curbe sa fie situate in prelungire).

• In cazul unui poligon de control convex, curba e in interiorul acestui poligon
• Controlul asupra formei curbei este global: schimbarea pozitie unui pot de control \Rightarrow schimbarea forma intregii curbe.

• 0 suprafața Bezier este definită prin unuatoarea ec. param:

$$(*) P(u, v) = \sum_{i=0}^m P_{ij} B_{i,m}(u) B_{j,n}(v), \quad 0 \leq u, v \leq 1$$

- Forma acestei suprafețe este determinată de poziția punctului de control P_{ij} ($0 \leq i \leq m, 0 \leq j \leq n$). P_{ij} sunt vârfurile unui poliedru de control
- În ecuația (*), polinoamele Bernstein $B_{i,m}$ și $B_{j,n}$ au gradele m , resp n .

• Petică tridimensională parametrizată

Algoritmi pt. vizualizarea realistă a scenelor 3D

• Algoritmii de **rendering** descriu procesul de obținere a unei reprezentări colorate realist a unui obiect pornind de la o reprezentare a unui model 3D a obiectului:

Etapela alg. de rendering:

- 1 Producerea unui model care conține toate informațiile necesare pt. a produce o reprezentare realistă a obiectului (ex: o plasă de poligoane)
- 2 Aplicarea de transformări liniare modelului corpului 3D
- 3 Eliminarea poligoanelor auto-obturate (back face culling)
- 4 Decuparea poligoanelor rămase față de frontiera unui volum de vizualizare
- 5 Rasterizarea poligoanelor: cu alg. de ^{scan-line} eliminarea suprafețelor ascunse
- 6 Aplicarea de alg. pt. eliminarea suprafețelor ascunse
- 7 Colorarea realistă a pixelilor interiori fiecărui poligon, utilizând scheme interpolative sau incrementale.

Tehnici pt. a dezvolta imagini realistice:

- alg. de det a supr. vizibile
- alg. de shading prin interpolarea culorilor
- modele de iluminare locală, surse punctuale cu suprafețe
- modelarea suprafețelor curbe și a prop. de materiale
- aplicarea texturilor și umbrelor
- modelarea transparenței / reflexiei
- metode de iluminare globală - Ray Tracing, Radiosity.

Alg. de eliminare a liniilor / supr. ascunse

< care lucrează în spațiul imaginii (Image Precision Algorithms)
 > care lucrează în spațiul obiect (Object Precision Algorithms)

• Image Precision Alg. determină care dintre cele n obiecte este vizibil în fiecare dintre pixelii imaginii:

- pt fiecare pixel p al imaginii repetă:
- * det. obiectul cel mai apropiat de observator care este situat pe raza care pornește de la observator și trece prin pixelul P .
 - * desenează pixelul P cu culoarea adecvată

• Object Precision Alg compară obiectele între ele, eliminând direct obiecte întregi sau porțiuni de obiect care nu sunt vizibile.

- pt fiecare obiect o din scenă repetă:
- * det. porțiunile din ob. care nu sunt obturate de alte ob. sau de alte părți ale lui o
 - * desenează porțiunile vizibile cu culoarea adecvată

Algoritmi de determinare a vizibilității fețelor:

- 1) bazati pe liste de priorități; Z-buffer, Weiler-Atkinson
- 2) alg. scan-line - det. părțile vizibile ale fețelor prin balnearea imaginii care se afișează linie cu linie; Walkius
- 3) Alg bazati pe subdivizare: divizarea recursivă fețele scenei până se pot stabili porțiunile vizibile ale lor. Arbori BSP - binary space partition

Z-buffer

- lucrează în spațiul imagine
- e implementat hardware
- Alături de memoria video (Frame buffer), care reține codul de culoare al fiecărui pixel al imaginii, algoritmul folosește și un buffer de memorie Z a obiectului din scenă a cărei imagine poate fi observată într-un anumit cu nr. de pixeli ai imaginii)
- Considerăm scena alcătuită din corpuri cu frontiera modelată prin plase de poligoane \Rightarrow fiecare poligon P va fi proiectat în planul de vizualizare, obținându-se poligonul P'. Punctele interioare ale P' vor fi apărute cu culoarea corespunzătoare folosind un algoritmu de rasterizare de tipul scan-line.
- În timpul procesului de rasterizare, pixelul-image având coordonatele (x_i, y_i) va fi apărut numai dacă coordonata Z care corespunde acestui punct (din poligonul initial) este mai apropiată de observator decât coordonata Z coresp. din Z-buffer.
- Inițial Z-bufferul e initializat cu o valoare mică, iar valoarea tuturor punctelor din memoria video e initializată la valoarea culorii de fundal scenei.
- pt. fiecare poligon P al scenei repetă:
 - * proiectează P pe planul $xOy \Rightarrow P'$
 - * pt fiecare pixel $Q(x, y)$ din interiorul P' repetă:
 - $p_z \leftarrow$ val. coord Z a poligonului P în pct prin a căruia proiecte se obține Q
 - dacă $p_z \geq Z_{buffer}[x, y]$
 - * $Z_{buffer}[x, y] \leftarrow p_z$
 - * put pixel (x, y) , culoare-poligon - în pct - Q
- se folosesc proiecție ortografică pe xOy
- nu este necesară setarea prealabilă a poligoanelor
- Pt a putea det. adăucimea unui punct al poligonului P, este necesară cunoașterea ecuației planului poligonului. Fie ea $Ax + By + Cz + d = 0 \Rightarrow Z = -\frac{Ax + By + d}{C}$.
- Pt a mari eficiența calculului de adăucime, se poate folosi corența în adăucime imaginii (de obicei $\Delta x = 1$ pixel): cunosc $Z_1(x_1, y_1)$ atunci pt $(x_1 + \Delta x, y_1) \Rightarrow Z_2 = Z_1 - \frac{A}{C} \Delta x$

- asemănător, pt a determina valoarea lui z resp pt de start al unui linii de rasterizare $y + \Delta y$, cum ar fi $y_1 \Rightarrow z_2 = z_1 - \frac{B}{2} \Delta y$
- orice proiecție fobrată e paralelă cu o direcție (a, b, c) oarecare, însoțite de aplicația z-buffer se va aplica fiecărui corp din scenă o secvență de transformări care să aducă dreapta (a, b, c) de-a lungul axei $Oz \rightarrow (0, 0, 1)$
- Algoritmul z-buffer poate lucra la fel de bine și asupra corpurilor care nu au frontiera poliedrică, trebuie să se poată determina coordonatele z a unui punct al suprafeței ce are proiecția (x, y) dată.
- În cazul în care z-bufferul are o dimensiune prea mare (există limitări ale memoriei interne a sistemului), se poate aplica repetat algoritmul asupra unor fașii de imagini suficient de subțiri pt. a permite fabricarea unui z-buffer.
- înscori, în programele de arhivare de imagini se solvează adesea problema de a imagini corespunzătoare unei scene și z-bufferul ei, ceea ce permite inserarea ulterioară cu ușurință a noi obiecte în scenă.

Object-buffer

- variantă a z-buffer, de Atherton.
- se asociază fiecărui pixel (x, y) din imagine o listă ordonată după z a corpurilor care se proiectează peste punctul (x, y) .
- în acest fel se pot realiza efecte cum ar fi transparencea

Back face culling

- Eliminarea fețelor din spate sau auto-obstruite ale unui poliedru
- Definiția fețelor suprafeței poliedrice (e plane de poligoane) trebuie să fie făcută prin enumerarea vârfurilor feței în sens trigonometric
- În acest fel, calculul normalului ca produs vectorial a 2 din laturile (considerate vectori orientati) feței poligonale va produce normalul exterior.
- În șut de coordonate ale observatorului, fețele din spate ale poliedrului sunt caracterizate prin faptul că produsul scalar dintre normalul exterior la față și vectorul \vec{OP} (O - pt de observare, P - un pt oarecare al feței) este pozitiv
- Algoritmul lucrează în spațiul obiect și realizează înregistrarea numărului fețelor poliedrelor componente ale unei scene; numai fețele neauto-obstruite li se vor aplica eventual alți alg. de ascundere de suprafețe sau de shading

Algoritmul picturii

• Ideea algoritmului este de a rasteriza poligoanele componente ale unei scene în ordinea descrescătoare a distanței lor față de observator.

• În cazul scenei ale căror obiecte sunt situate în planuri cu $z = d$ (scenă $z = \frac{1}{2} D$), aplicarea alg. picturii este evidentă

• În cazul general în care poligoanele componente ale scenei nu sunt situate în planuri cu $z = d$, pot apărea o serie de ambiguități generate de intersectarea sau suprapunerea pe axa z a poligoanelor, (se rezolvă prin disconectarea unui poligon al scenei în mai multe subpoligoane)

① Se sortează toate poligoanele scenei într-o listă în ordinea descrescătoare a celui mai mic coordonate z a fiecărui poligon; aceasta este coordonata celui mai depărtat punct de observator pe Oz (se consideră proiecție ortogonală pe xOy)

② Rezolvarea ambiguităților care pot fi determinate de suprapunerea pe axa Oz a poligoanelor și împărțirea, dacă este cazul, a acestor poligoane

- Fie P poligonul aflat la extremitatea cea mai depărtată a listei sortate. Înainte ca P să fie rasterizat, el va trebui testat în raport cu toate celelalte poligoane Q din listă ale căror extremități pe Oz se suprapun cu cea a lui P .

2.1) Se verifică dacă extremitățile pe x ale lui P și Q nu se suprapun (dacă nu, atunci se randează P și apoi Q)

2.2) analog pt extremitățile pe y

2.3) se verifică dacă poligonul P (toate v. sale) și poziția observatorului sunt situate de părți opuse față de planul poligonului Q . \rightarrow se substituie coordonatele fiecărui vârf P în ecuația planului lui Q și se testează cu semnul valorii obținute să fie contrar celui rezultat prin substituția coord. obs. în ec. pl. lui Q

2.4) Se verifică dacă Q și obs. sunt de aceeași parte față de planul lui P .

2.5) Se verifică dacă proiecțiile lui P și Q în planul xOy nu se suprapun

* dacă unul din testele 2.1-2.5 se termină cu succes, P este rasterizat pe loc

* dacă toate testele se termină cu eșec, atunci P are putea să-l obtureze pe Q și se va testa dacă Q nu ar putea fi rasterizat înainte de P . \rightarrow nu se mai repetă testele 2.1, 2.2 și 2.5, dar sunt efectuate 2.3 și 2.4 cu rolul poligoanelor P și Q inversat \rightarrow 2.3' și 2.4'

* dacă cel puțin unul din testele 2.3', 2.4' se termină cu succes, poligonul Q va fi mutat în poziția celui mai depărtat poligon al scenei față de observator

* Pt. a evita fiș-ul (heap), poligoanele care se află la începutul listei vor fi marcate; dacă în cazul unui poligon marcat testele 2.1-2.5 resp. poligon este descompus, iar părțile lui componente sunt reinsertate în listă (comp. coord z și desc. polig.)

* e un alg hibrid: operează atât în sp. obiect cât și în sp. imagine (rasterizare)

Arbori BSP (Binary Space Partition)

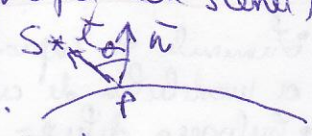
- Structură independentă de pct de observare și core feruinte alg. de vizualizare rapidă a ploșelilor de poligoane
- $P = \{p_1, p_2, \dots, p_n\}$ - mulțime de poligoane
- se alege un poligon p_k , care va reprezenta rădăcina arborelui BSP.
- planul poligonului p_k va partiționa spațiul 3D în 2 semispacii S_k și S_k'
- $S_k = \{ (x, y, z) \mid ax + by + cz + d > 0 \}$
- Poligoanele din $P \setminus \{p_k\}$ pot aparține în întregime lui S_k sau S_k'
- Dacă un poly din $P \setminus \{p_k\}$ intersectează planul lui p_k , el va fi împărțit în 2 subpoligoane, unul în S_k , celălalt în S_k'
- Procesul de împărțire a submulțimii de poligoane continuă până la obținerea de submulțimi formate dintr-un singur element
- Afisarea corectă a unui poligon implică urmărirea ordinii de generare în memoria ecran:
 - * generarea tuturor poligoanelor aflate de cealaltă parte a planului poligonului p_k decât observatorul
 - * generarea lui p_k
 - * generarea tuturor poligoanelor aflate de aceeași parte

Modele de reflexie/iluminare

- Un model de reflexie descrie interacțiunea luminii cu suprafața unui obiect, în funcție de proprietățile suprafeței și natura luminii incidente => proiecte unui obiect în planul de vizualizare pe ecran real.
- Modelul de iluminare difuză descrie natura luminii emise de o sursă luminoasă, geometria distribuției intensității luminoase. Sursele luminoase sunt punctiforme.
- Scopul modelelor de reflexie este de a realiza redarea obiectelor 3D în spațiul ecran 2D a.î. Realitatea încorporată să fie "imitată" cu un grad de acuratețe acceptabil
- Modele de reflexie
 - locale (iau în consid. doar interacțiunea dintre un pct al suprafeței și sursa luminoasă)
 - globale (iau în consid. și lumina care ajunge într-un pct. al suprafeței obiectului pe care îndre de - prin reflexia sau transmiterea radiației luminoase pe alte suprafețe ale scenei)

Modele de reflexie locale:

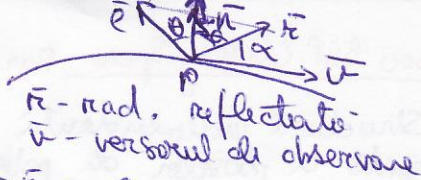
- reflexia difuză (Lambertiană) - caracteristică suprafețelor mate.
- intensitatea luminii reflectate difuz de un element de arie infinit de mic central în P: $i = k_d \cdot i_p \cdot \cos \theta = k_d \cdot i_p \cdot \vec{n} \cdot \vec{l}$ $\theta \in [0, \pi/2]$ pt supra ne-auto-obstruite
 - ↳ intensitate pe suprafețe luminoase
 - ↳ coeficient de reflexie difuză
- mereu se ține seama și de lumina ambiantă, care e o combinație de lumino constantă adăugată la cea reflectată: $r = k_d i_a + k_d i_p \vec{n} \cdot \vec{l}$



• reflexia speculară - caracteristică suprafețelor lucioase

$$i_s = K_s i_p \cos^n \alpha = K_s i_p (\bar{n} \cdot \bar{v})^n \quad (\text{modulul lui Tui Bui Phong})$$

n - exponent al reflexiei speculare, $n \in [1, 200]$
(se alege experimental)



\bar{n} - rad., reflectat
 \bar{v} - versorul de observare
 $PQ = \bar{n} \cos \theta$
 $\bar{S} = \bar{n} \cos \theta - \bar{e} = \bar{n} - \bar{n} \cos \theta$
 $\bar{r} = 2 \bar{n} \cos \theta - \bar{e} = 2 \bar{n} (\bar{n} \cdot \bar{v}) - \bar{v}$
 $\bar{n} = \frac{\bar{e} + \bar{v}}{|\bar{e} + \bar{v}|}$ în

• alta formulare a modelului de reflexie Phong pt. reflexia speculară folosește vectorul \bar{n} - versorul dir. - bisectoare între direcția sursei, de versor \bar{e} și cea a observatorului, de versor \bar{v}
 loc de $(\bar{n} \cdot \bar{v})^n \Rightarrow (\bar{e} \cdot \bar{n})^n$; $\cos \beta = \bar{e} \cdot \bar{n} \neq \cos \alpha = \bar{n} \cdot \bar{v}$

• e un model empiric; falsitatea lui β e mai eficientă când sursa luminoasă și obs. sunt situate la infinit. \rightarrow în acest caz, direcția lui \bar{n} este constantă pt orice P de pe suprafața obiectului

• În unele formulări, modelul Phong include, alături de componenta speculară și componenta Lambertiană și ambientă: $i = k_a i_a + k_d i_p (\bar{e} \cdot \bar{n}) + k_s i_p (\bar{n} \cdot \bar{v})^n$

- * modulul Phong
 - sursă luminoasă punctuală
 - sursă și observatorul sunt de obicei considerate la infinit
 - culoarea reflexiei speculare e considerată culoarea sursei luminoase (de obicei alb)
 - termenul ambient - constant

• alte modele: Blinn, Torrance - Sparrow, Cook - Torrance
 • Acestea sunt modele teoretice/fizice, care consideră suprafața obiectului alcătuită din microfete care au normale distribuite în jurul unei normale medii

Modeli de iluminare ale surselor luminoase - 3 elemente:

- geometria sursei (punctuală, liniară, dreptunghiulară)
- distribuția intensității luminoase a sursei
- distribuția spectrală a sursei

• Modelul lui Warn: Intensitatea sursei = $i_i (\bar{n} \cdot \bar{e})$ \rightarrow indice de concentrare a sursei
 \rightarrow direcție principală

• modelul este echivalent cu o suprafață care emite lumina direct - o sursă punctuală și o reflectă specular conform modelului Phong.

Atenuarea sursei luminoase

• lumina reflectată de suprafața unui obiect poate fi atenuată în funcție de distanța de la sursa luminoasă până la punctul de interes de pe suprafața obiectului.

• pt. a modela această atenuare se introduce un factor de atenuare conform relației:

$$i = f_{at} \cdot i_p \cdot k_d \cdot (\bar{n} \cdot \bar{e})$$

unde $f_{at} = \min \left(\frac{1}{c_1 + c_2 d + c_3 d^2}, 1 \right)$

constante definite de distanța pe care lumina o parcurge asociate cu sursa luminoasă de la sursă pînă la suprafața obiectului

Lumini și suprafețe colorate

• Lumini și suprafețele colorate sunt tratate scriind ecuații separate pt. fiecare componentă a modelului de culoare

• Culoarea difuză a unui obiect se reprezintă prin intensitățile reflectate (O_d) pt fiecare componentă (ex: O_{dR}, O_{dG}, O_{dB})

• În acest caz, cei 3 componente ale luminii sursei luminoase (i_{pR}, i_{pG}, i_{pB}) sunt reflectați respectiv în proporțiile $k_d O_{dR}, k_d O_{dG}, k_d O_{dB}$. Comp. rose $i_R = i_{pR} \cdot k_a \cdot O_{dR} + f_{at} \cdot i_{pR} \cdot k_d O_{dR}$

Algoritmi de colorare realista (shading)

→ pentru suprafețele modelate prin plase de poligoane

1. Shading constant (flat shading)

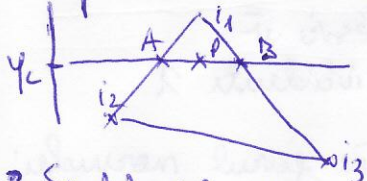
- se aplică un model de reflexie pe un singur punct din interiorul unei fețe poligo, iar culoarea calculată e utilizată pt. a umple întreaga poligon.
- ac. metode presupune că:
 - sursa luminoasă e la $co(\vec{n} \cdot \vec{l} = ct)$ pe fața poligonală
 - observatorul e la $co(\vec{n} \cdot \vec{v} = ct)$ pe fața poligonală
 - poligonul care e colorat nu e o aproximație a unei suprafețe curbă.

2. Shading cu interpolarea culorii

- acest tip de metode (metode de shading incrementale sau interpolative) aplică modelele de reflexie poligonale din plase, calculând intensități luminoase în vârfurile poligoanelor și apoi interpolând valorile de intensitate sau culoare din vârf în fiecare din punctele interioare ale poligoanelor
- cele mai răspândite metode de shading incremental: Gouraud, Phong

Metoda Gouraud

- Fie un poligon P al plasei. Se calculează normala la suprafață în fiecare din vârfurile poligonului.
- Dacă plasa poligonală aproximează o suprafață analitică, se pot calcula normalele în vârfurile poligonului pornind direct de la ecuațiile suprafeței aproximative
- Dacă nu se cunosc ecuațiile suprafeței aproximative, atunci normalele la un vârf adiacentă respectivului vârf.
- Se determină intensitatea luminii reflectate în fiecare vârf al clasei de poligoane (se aplică un model de reflexie)
- Se determină intensitatea fiecărui punct de pe muchie poligonului prin interpolarea liniară a valorilor intensităților celor 2 vrf de extremitate ale muchiei



$$\frac{i_A - i_1}{i_2 - i_1} = \frac{y_c - y_1}{y_2 - y_1} \Rightarrow i_X = i_1 + (i_2 - i_1) \frac{y_c - y_1}{y_2 - y_1}$$

$$\frac{i_B - i_1}{i_3 - i_1} = \frac{y_c - y_1}{y_3 - y_1} \Rightarrow i_Y = i_1 + (i_3 - i_1) \frac{y_c - y_1}{y_3 - y_1}$$

- Se det. intensitățile de pe fiecare punct al poligonului de pe dreapta de rasterizare curentă, prin interpolarea intensităților pot de la intersecția $y = y_c$ cu muchiile poly.

$$\frac{i_P - i_A}{i_B - i_A} = \frac{x_P - x_A}{x_B - x_A} \Rightarrow i_P = i_A + (i_B - i_A) \frac{x_P - x_A}{x_B - x_A}$$

- Schema Gouraud ia în considerare numai componente difuze a nivelului de reflexie în calculul intensităților la vârf, pt. că altfel formula peți speculară ar depinde prea mult de plasa poligonală
- De obicei, normalele la vârf se calculează o singură dată și sunt disponibile în structura de date a plasei poligonale.
- Calculile (*) se pot face incremental
- Pot apărea erori de reprezentare / vizualizare datorate efectului Mach (muchii comune au porțiuni mai întinse, dăruindu-le un motiv dubios)
- Set. culorii e echivalent cu 3 interpolări de intensitate

Metoda Phong - interpolarea vectorului normal

- Se det. normabile la vârf pt. fiecare din vf. poligonului
- Se det. normabilele în fiecare din pct. unei muchii, prin interpolarea liniară a coeficienților normalilor la vârf
- Se det. normabilele în fiecare din punctele interioare poligonului situate pe dreapta arentă de restricție prin interpolarea liniară a coef. normalilor situate la extremitățile segm. de restricție
- Se efectuează un calcul special de intensitate pt. fiecare din normabile calculate
- Obs: Se consideră că sursa luminoasă și observatorul sunt plasate la infinit => intensitatea luminoasă într-un punct trebuie să depindă doar de normale interpolate.
- Obs: Modelul de reflexie folosit în calculare componenta speculară.
- Obs: Metoda Phong necesită mult mai multe calcule decât metoda Gouraud, dar dă rezultate mai bune
- Obs: Metoda Phong ia 50% din calculul total de rendering
- Obs: Metoda Gouraud e un standard la standardele de lucru
- Obs: Au fost puze la punct tehnici pt. accelerarea calculului metodei Phong: abordări geometrice (Bergman) și numerice (Bishop-Weiner)

Metode de combinate Gouraud-Phong

- Se aplică Gouraud la toate poligoanele plane, iar Phong doar pe polig. supraluminate
- Parca cea mai importantă a unui model de reflexie locală este să calculeze cât din lumina incidentă este reflectată de o suprafață
- Calculul reflexiei lumini se reduce la a calcula o funcție **BRIDF** (Bidimensional Reflection Intensity Distribution Function)
- Parametrii funcției **BRIDF**:
 - direcția luminii incidente \vec{l}
 - direcția radiației propagată la ieșire \vec{r}
 - lungimea de undă a luminii incidente λ
- $BRIDF(\vec{l}, \vec{r}, \lambda) = \frac{i_{out}}{i_{in}}$
- Dacă funcția **BRIDF** ($\vec{l}, \vec{r}, \lambda$) nu are o simetrie circulară în jurul normalei la suprafață, suprafața se numește anizotropă.

Modeli de culoare

- specificare cantitativă a culorii într-un sistem de coordonate
- o culoare: 3-4 valori reale
- Modelul de culoare: descrierea sistemului de coordonate și descrierea unei mulțimi de culori care se numesc spațiul culorilor și e o submulțime a spațiului descrieri de sist. de coordonate
- o culoare e caracterizată din punct de vedere al percepției, de următoarele noțiuni:
 - ⊗ nuanță (hue) - distinge între 2 culori diferite (măsură fizică = lungimea de unde dominante)
 - ⊗ saturație - măsura de alb amestecată într-o culoare pură (m.f. = puritatea de excitație)
 - ⊗ luminanță - intensitatea luminoasă percepută la reflectarea luminii de o suprafață albă
 - ⊗ strălucire - intensitatea luminoasă percepută de la un obiect-sursă luminoasă

Modelul RGB

- utilizat pt. specificarea culorii emise în cazul monitoarelor color
- sist. de coord. este ortogonal
- spațiul culorilor are formă cubică (roșu 100, verde 010, albastru 001, alb 111, negru 000)
- modelul RGB e aditiv $C = \frac{r}{R} + \frac{g}{G} + \frac{b}{B}$ → culori primare / ponderi

Modelul CMY (cyan magenta yellow)

- complementele lui RGB
- alb = 000; cyan + yellow va absorbi roșu și albastru și va reflecta numai verde
- e un model subtractiv - se închide ce se scoate din alb
- CMYK (black) → variantă a CMY folosită la specificarea culorilor la imprimantă
- în procesul de afișare prin imprimare, pigmentii C+M+Y nu dau un negru perfect, de aceea se folosește obținerea de pigment negru $K = \min(c, m, y)$

Modelul YIQ

- utilizat în transmiterea imaginilor color TV
- recodificarea a RGB a1 se se obține o transmisie mai eficientă, comprimată, și să se păstreze compatibilitatea cu codificarea imaginilor transmise alb-negru.
- subspațiul YIQ e un poliedru convex care corespunde cubului RGB care a suferit o transformare liniară.

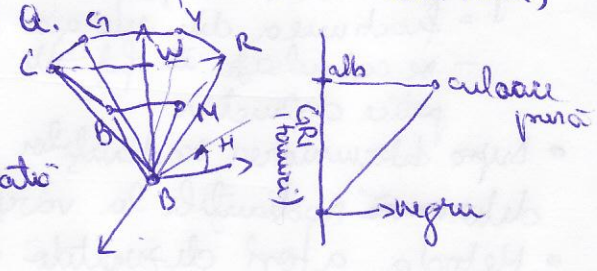
$$\begin{bmatrix} Y \\ I \\ Q \end{bmatrix} = \begin{bmatrix} 0.299 & 0.587 & 0.114 \\ 0.596 & 0.275 & 0.321 \\ 0.212 & 0.533 & 0.311 \end{bmatrix} \begin{bmatrix} R \\ G \\ B \end{bmatrix}$$

Y - semnal de luminanță → cod. cul. sist. color.
 I, Q - semnale de crominanță → e singura comp. transmisă la imag. alb/negru.

- sistemul vizual uman e mai sensibil la variația de luminanță față de schimbările de nuanță / saturație ale unei culori
- de aceea, în formatele digitale de codificare a culorii care folosesc modelul YIQ, luminanța se codifică pe mai mulți biți față de I și Q.

Modelul HSV (hue, saturation, value = brightness)

- sist. de coordonate e cilindric
- spațiul culorilor e o piramidă hexagonală regulată
- baza piramidei = planul $V=1$
- H se măsoară în grade: 0° - roșu, 60° - galben, 120° - verde, 180° - cyan, 240° - albastru, 300° - magenta
- Spre deosebire de modelele RGB, CMY, YIQ, care sunt orientate către hardware, modelul HSV e orientat către utilizator, indicând modul în care îl percepe culoarea,



Algoritmi de iluminare globală

① metoda drumului opticii - Ray Tracing

② metoda radiantei - Radiosity

alg. de iluminare globală calculează culoarea într-un punct P al imaginii luând în considerare nu numai lumina emisă direct de o suprafață luminoasă care ajunge în P, ci și lumina ce ajunge în P în urma unor reflexii sau transmisii față de 'supr. altor obiecte ale scenei'.

① Metoda Ray-Tracing

- calculele de determinare a suprafețelor vizibile și de shading sunt între-pătură cu cele de determinare a umbrelor, reflexilor reflectați și reflexilor transmiși.
- alg. tracează raze imaginare între un punct ce reprezintă ochiul observatorului și centrul fiecărui pixel din subspațiul imaginii.
- raza e intersectată cu obiectele scenei, determinându-se punctul de intersecție cel mai apropiat de observator.
- în acest punct se determină, aplicând un model de reflexie locală (de obicei Phong) culoarea obiectului în acel punct.
- raza care vine din ochiul observatorului = raze primare
- raze transmiși + reflectate = raze secundare
- Pt. determinarea umbrei, din pt P se duce câte o rază până la fiecare sursă luminoasă. Dacă această rază intersectează suprafața altui obiect, P va fi umbrit și nu se va lua în considerare contribuția sursei și la calculul culorii locale în P.

② Metoda Radiantei

- se bazează pe modelarea transferului de energie luminoasă între suprafețele corpurilor scenei prin aplicarea legii conservării energiei
- algoritmul care stă la baza metodei radiantei lucrează în spațiul obiect
- suprafețele corpurilor scenei de vizualizat sunt discretizate în petice, pe fiecare petic este selectat un punct reprezentativ (de obicei centrul de greutate al peticului peticii sunt de obicei dreptunghiulare)
- se determină radianta peticului în fiecare din punctele reprezentative.

E_i - energia luminoasă emisă de un petic de suprafață
 R_i - reflexivitatea peticului = $\frac{\text{Rad. care intră}}{\text{Rad. care intră}}$
 B_i - radianta peticului (energia ce părăsește unit. de suprafață în unit. de timp)

$$\begin{bmatrix} 1-R_1F_{11} & -R_1F_{12} & \dots & -R_1F_{1n} \\ \vdots & \vdots & \ddots & \vdots \\ -R_nF_{n1} & -R_nF_{n2} & \dots & 1-R_nF_{nn} \end{bmatrix} \begin{bmatrix} B_1 \\ B_2 \\ \vdots \\ B_n \end{bmatrix} = \begin{bmatrix} E_1 \\ E_2 \\ \vdots \\ E_n \end{bmatrix}$$

F_{ij} = factori de formă, depind de geometria scenei = fracțiunea din energia ce părăsește peticul j și care ajunge la peticul i - se calculează în fun. de formă și orientarea relativă, precum și prezența unor petice obstructive.

după determinarea radianțelor $B_1 \dots B_n$ ale punctelor reprezentative ale peticilor, se determină radianțele la vârf.

Metoda a fost dezvoltată de **Cohen și Greenberg**